

# Fondamenti di Nanotecnologie e Meccanica Quantistica

Marcello Carletti

16 ottobre 2025

## Sommario

Questa sintesi rappresenta un'analisi delle interconnessioni tra meccanica quantistica e nanotecnologie. Il lavoro esplora i principi fondamentali che governano il comportamento della materia alla nanoscala, dalle basi teoriche quantistiche.

## Indice

<b>1</b>	<b>Introduzione</b>	<b>3</b>
<b>2</b>	<b>Prospettiva Storica e Fondamenti Epistemologici</b>	<b>3</b>
2.1	La Rivoluzione Quantistica . . . . .	3
2.2	Implicazioni Filosofiche . . . . .	3
<b>3</b>	<b>Motivazione e Leggi di Scala</b>	<b>3</b>
<b>4</b>	<b>I Postulati della Meccanica Quantistica</b>	<b>4</b>
<b>5</b>	<b>Principi Fondamentali di Meccanica Quantistica</b>	<b>4</b>
5.1	Concetti Fondamentali . . . . .	4
5.2	Commutatori e Relazioni di Indeterminazione . . . . .	5
<b>6</b>	<b>Paradossi e Interpretazioni della Meccanica Quantistica</b>	<b>6</b>
6.1	Il Paradosso EPR e l'Entanglement . . . . .	6
6.2	Il Problema della Misura . . . . .	6
<b>7</b>	<b>Sistemi Quantistici Modello e Fenomeni Chiave</b>	<b>6</b>
7.1	Buca di Potenziale a Pareti Infinite . . . . .	6
7.2	Oscillatore Armonico Quantistico . . . . .	7
7.3	Barriera di Potenziale e Effetto Tunnel . . . . .	7
7.4	Densità degli Stati . . . . .	7
7.5	Elettroni e Spin . . . . .	7

<b>8 Effetti Quantistici Collettivi</b>	<b>8</b>
8.1 Correlazioni Quantistiche nei Solidi . . . . .	8
8.1.1 Superconduttività . . . . .	8
8.1.2 Effetto Hall Quantistico . . . . .	8
8.2 Plasmoni e Eccitazioni Collettive . . . . .	8
<b>9 Nanomateriali e Confinamento Quantistico</b>	<b>8</b>
9.1 Classificazione Dimensionale . . . . .	8
9.2 Grafene: Il Prototipo 2D . . . . .	9
9.3 Nanotubi di Carbonio . . . . .	9
9.4 Quantum Dots . . . . .	9
<b>10 Tecniche di Nanofabbricazione</b>	<b>10</b>
10.1 Approcci Top-Down . . . . .	10
10.2 Approcci Bottom-Up . . . . .	10
10.2.1 Auto-assemblaggio Molecolare . . . . .	10
10.2.2 Crescita Epitassiali . . . . .	10
10.3 Tecniche Ibride . . . . .	10
<b>11 Fenomeni di Trasporto Quantistico</b>	<b>10</b>
11.1 Formalismo di Landauer-Büttiker . . . . .	10
11.2 Localizzazione . . . . .	11
11.3 Trasporto Spin-Dipendente . . . . .	11
<b>12 Applicazioni e Dispositivi Quantistici</b>	<b>11</b>
12.1 Dispositivi Elettronici Quantistici . . . . .	11
12.1.1 Transistor a Singolo Elettrone . . . . .	11
12.1.2 Dispositivi Superconduttori . . . . .	11
12.2 Sensori Quantistici . . . . .	11
12.2.1 SQUID (Superconducting Quantum Interference Device) . . . . .	11
12.2.2 Magnetometri a Centro NV . . . . .	11
12.3 Fotonica Quantistica . . . . .	12
<b>13 Metodi Computazionali</b>	<b>12</b>
13.1 Teoria del Funzionale Densità (DFT) . . . . .	12
13.2 Metodi Tight-Binding . . . . .	12
13.3 Simulazioni Monte Carlo Quantistiche . . . . .	12
<b>14 Conclusioni</b>	<b>12</b>

# 1 Introduzione

La ricerca contemporanea nelle nanoscienze rappresenta una delle frontiere più stimolanti della fisica moderna. La comprensione dei fenomeni alla nanoscala richiede necessariamente una solida base di meccanica quantistica, poiché a queste dimensioni i comportamenti classici cedono il passo a dinamiche governate da principi quantistici.

L'esplorazione ha coperto un'ampia panoramica delle nanoscienze e nanotecnologie, concentrandosi sui principi di meccanica quantistica indispensabili per comprendere il comportamento della materia alla nanoscala. Questo approccio multidisciplinare si è rivelato fondamentale per collegare teoria e applicazioni pratiche.

## 2 Prospettiva Storica e Fondamenti Epistemologici

### 2.1 La Rivoluzione Quantistica

La nascita della meccanica quantistica all'inizio del XX secolo ha rappresentato una delle rivoluzioni scientifiche più profonde della storia. I lavori pionieristici di Planck, Einstein, Bohr, de Broglie, Heisenberg e Schrödinger hanno progressivamente delineato un nuovo paradigma per comprendere la natura.

La *crisi del corpo nero*, risolta da Planck con l'introduzione della quantizzazione dell'energia ( $E = h\nu$ ), ha segnato l'inizio di questa rivoluzione. L'interpretazione dell'effetto fotoelettrico da parte di Einstein ha consolidato il concetto di dualismo onda-particella, ponendo le basi per sviluppi successivi.

### 2.2 Implicazioni Filosofiche

Le implicazioni epistemologiche della meccanica quantistica vanno oltre la mera descrizione fisica. Il principio di complementarità di Bohr e l'interpretazione probabilistica di Born hanno ridefinito il concetto stesso di realtà fisica, introducendo l'idea che la natura fondamentale della materia sia intrinsecamente probabilistica.

## 3 Motivazione e Leggi di Scala

Le indagini hanno preso avvio da esempi naturali di strutture nanometriche, come la *zampa del gecko* (che sfrutta una struttura complessa su diverse scale per massimizzare l'adesione attraverso forze di van der Waals) e la *foglia di loto* (nota per la sua superficie idrofobica e la capacità autopulente dovuta alla micro e nanostrutturazione).

Questi esempi hanno introdotto il concetto di **biomimetica** e l'importanza delle leggi di scala che regolano il rapporto superficie/volume al diminuire delle dimensioni. La relazione  $S/V \propto 1/L$  (dove  $L$  è la dimensione caratteristica) spiega perché gli effetti di superficie diventino dominanti alla nanoscala.

È stata esplorata l'evoluzione della miniaturizzazione tecnologica, dalle prime valvole termoioniche ai transistor e ai moderni dispositivi di archiviazione dati, evidenziando come la densità di informazione possa aumentare drasticamente passando dalla scala micrometrica a quella nanometrica secondo la *Legge di Moore*.

Il dibattito ha incluso una prospettiva storica, richiamando la visione pionieristica di RICHARD FEYNMAN del 1959 nella sua celebre conferenza "There's Plenty of Room at the Bottom", che ha anticipato le possibilità della manipolazione atomica.

## 4 I Postulati della Meccanica Quantistica

Prima di analizzare i fenomeni specifici, è essenziale formalizzare i postulati fondamentali che governano la meccanica quantistica:

1. **Postulato degli Stati:** Lo stato di un sistema quantistico è completamente descritto da un vettore di stato  $|\psi\rangle$  in uno spazio di Hilbert.
2. **Postulato delle Osservabili:** Le grandezze fisiche misurabili sono rappresentate da operatori Hermitiani che agiscono sullo spazio degli stati.
3. **Postulato della Misura:** Il risultato di una misura di un'osservabile  $\hat{A}$  può essere solo uno degli autovalori  $a_n$  dell'operatore corrispondente.
4. **Postulato Probabilistico:** La probabilità di ottenere l'autovalore  $a_n$  è data da  $P_n = |\langle\phi_n|\psi\rangle|^2$ , dove  $|\phi_n\rangle$  è l'autostato corrispondente.
5. **Postulato del Collasso:** Dopo la misura, il sistema si trova nell'autostato corrispondente al risultato ottenuto.
6. **Postulato dell'Evoluzione:** L'evoluzione temporale è governata dall'equazione di Schrödinger.

## 5 Principi Fondamentali di Meccanica Quantistica

Il nucleo della trattazione si è focalizzato sulla fisica quantistica come nuovo paradigma scientifico, necessario per spiegare fenomeni non risolvibili dalla fisica classica (come la radiazione di corpo nero, l'effetto fotoelettrico, e la stabilità atomica).

### 5.1 Concetti Fondamentali

#### Dualismo Onda-Particella e Indeterminazione

Le particelle materiali (come gli elettroni) si comportano anche come onde, con lunghezza d'onda di de Broglie  $\lambda = h/p$ . Questo fenomeno conduce al **Principio di Indeterminazione di Heisenberg**:

$$\Delta x \Delta p_x \geq \frac{\hbar}{2}$$

che rappresenta un limite fondamentale, non tecnologico, alla conoscenza simultanea di posizione e quantità di moto. Esistono relazioni analoghe per energia-tempo e altre coppie di variabili coniugate.

#### Funzione d'Onda e Probabilità

Lo stato di una particella è descritto dalla funzione d'onda  $\psi(x, t)$ , che in generale è complessa. Il suo modulo quadro  $|\psi(x, t)|^2$  fornisce la densità di probabilità di

trovare la particella nella posizione  $x$  al tempo  $t$  (*Interpretazione di Born*). La condizione di normalizzazione:

$$\int_{-\infty}^{+\infty} |\psi(x, t)|^2 dx = 1$$

esprime la certezza di trovare la particella da qualche parte nello spazio.

### Operatori e Valori di Aspettazione

Le grandezze fisiche misurabili (osservabili) sono rappresentate da operatori Hermitiani secondo le regole di quantizzazione canonica. Il valore di aspettazione di una grandezza si calcola tramite:

$$\langle A \rangle = \langle \psi | \hat{A} | \psi \rangle = \int_{-\infty}^{+\infty} \psi^*(x) \hat{A} \psi(x) dx$$

### Equazione di Schrödinger

Questa è l'equazione fondamentale della meccanica quantistica:

$$i\hbar \frac{\partial \psi}{\partial t} = \hat{H} \psi$$

dove  $\hat{H}$  è l'operatore Hamiltoniano del sistema. Per stati stazionari, la separazione delle variabili porta all'equazione agli autovalori indipendente dal tempo:

$$\hat{H} \psi_n = E_n \psi_n$$

## 5.2 Commutatori e Relazioni di Indeterminazione

I commutatori tra operatori giocano un ruolo cruciale. Per posizione e impulso:

$$[\hat{x}, \hat{p}] = i\hbar$$

Da questo commutatore fondamentale deriva la relazione di Heisenberg attraverso il teorema generale:

$$\Delta A \Delta B \geq \frac{1}{2} |\langle [\hat{A}, \hat{B}] \rangle|$$

## 6 Paradossi e Interpretazioni della Meccanica Quantistica

### 6.1 Il Paradosso EPR e l'Entanglement

Il paradosso Einstein-Podolsky-Rosen ha evidenziato le peculiarità della meccanica quantistica riguardo la località e il realismo. L'entanglement quantistico, inizialmente visto come una problematica, è ora riconosciuto come una risorsa fondamentale per tecnologie quantistiche.

Due particelle in stato entangled sono descritte da:

$$|\psi\rangle = \frac{1}{\sqrt{2}}(|0\rangle_A|1\rangle_B - |1\rangle_A|0\rangle_B)$$

Le disuguaglianze di Bell hanno fornito un test sperimentale per distinguere tra meccanica quantistica e teorie a variabili nascoste locali, con risultati che confermano sistematicamente le previsioni quantistiche.

### 6.2 Il Problema della Misura

La transizione dal mondo quantistico a quello classico rimane uno dei problemi più profondi della fisica. L'interpretazione di Copenhagen, quella a molti mondi di Everett, e l'interpretazione transazionale rappresentano diversi tentativi di risolvere questa questione fondamentale.

## 7 Sistemi Quantistici Modello e Fenomeni Chiave

È stata analizzata l'applicazione della Meccanica Quantistica a diversi sistemi ideali di potenziale, che forniscono insight cruciali per comprendere i nanomateriali.

### 7.1 Buca di Potenziale a Pareti Infinite

Questo modello rappresenta il confinamento degli elettroni in una regione spaziale limitata. La risoluzione dell'equazione di Schrödinger:

$$\psi_n(x) = \sqrt{\frac{2}{L}} \sin\left(\frac{n\pi x}{L}\right)$$

$$E_n = \frac{n^2\pi^2\hbar^2}{2mL^2}$$

ha mostrato caratteristiche fondamentali:

- La discretizzazione dei livelli energetici (quantizzazione)
- L'esistenza di un'energia minima superiore a zero (*energia di punto zero*)
- La dipendenza  $E \propto 1/L^2$ , che spiega l'aumento dell'energia al diminuire delle dimensioni

Questo comportamento è cruciale per comprendere il confinamento quantistico nei nanostrutture.

## 7.2 Oscillatore Armonico Quantistico

L'oscillatore armonico rappresenta un altro sistema fondamentale con energia:

$$E_n = \hbar\omega \left( n + \frac{1}{2} \right)$$

Gli stati coerenti e squeezed dell'oscillatore armonico trovano applicazioni nell'ottica quantistica e nei dispositivi nano-optomeccanici.

## 7.3 Barriera di Potenziale e Effetto Tunnel

L'effetto tunnel rappresenta uno dei fenomeni più caratteristici della meccanica quantistica. Per una barriera rettangolare di altezza  $V_0$  e larghezza  $a$ , il coefficiente di trasmissione è:

$$T = \frac{1}{1 + \frac{V_0^2 \sinh^2(\kappa a)}{4E(V_0 - E)}}$$

dove  $\kappa = \sqrt{2m(V_0 - E)}/\hbar$ .

Questo fenomeno è alla base di numerose applicazioni:

- *Microscopio a Scansione a Effetto Tunnel* (STM)
- Diodi tunnel e dispositivi Josephson
- Decadimento alfa nei nuclei radioattivi
- Tunnel elettronico nei dispositivi molecolari

## 7.4 Densità degli Stati

La densità di stati  $G(E)$  è fondamentale per comprendere le proprietà elettroniche dei materiali. La sua dipendenza dalla dimensionalità:

$$G_{3D}(E) = \frac{1}{2\pi^2} \left( \frac{2m}{\hbar^2} \right)^{3/2} E^{1/2} \quad (1)$$

$$G_{2D}(E) = \frac{m}{\pi\hbar^2} = \text{costante} \quad (2)$$

$$G_{1D}(E) = \frac{1}{\pi} \sqrt{\frac{2m}{\hbar^2}} E^{-1/2} \quad (3)$$

spiega le diverse proprietà dei materiali bulk, 2D (grafene), e 1D (nanotubi).

## 7.5 Elettroni e Spin

Lo **spin elettronico** è un momento angolare intrinseco quantizzato con  $s = 1/2$ . L'equazione di Pauli include l'interazione spin-orbita:

$$\left[ \frac{(\vec{p} - e\vec{A})^2}{2m} + e\phi + \frac{e\hbar}{2m} \vec{\sigma} \cdot \vec{B} \right] \psi = E\psi$$

Per sistemi di elettroni identici (fermioni), il *Principio di Esclusione di Pauli* richiede che la funzione d'onda totale sia antisimmetrica, con profonde conseguenze per la struttura elettronica della materia.

## 8 Effetti Quantistici Collettivi

### 8.1 Correlazioni Quantistiche nei Solidi

Nei sistemi a molti corpi, emergono fenomeni cooperativi che non hanno analogo classico:

#### 8.1.1 Superconduttività

La teoria BCS (Bardeen-Cooper-Schrieffer) descrive la formazione di coppie di Cooper:

$$|\psi_{BCS}\rangle = \prod_k (u_k + v_k c_{k\uparrow}^\dagger c_{-k\downarrow}^\dagger) |0\rangle$$

Le coppie di Cooper si comportano come bosoni, permettendo la condensazione in uno stato macroscopico coerente.

#### 8.1.2 Effetto Hall Quantistico

In campi magnetici intensi, la conduttanza Hall è quantizzata:

$$\sigma_{xy} = \nu \frac{e^2}{h}$$

dove  $\nu$  è il fattore di riempimento. Questo fenomeno ha portato alla definizione dello standard di resistenza.

### 8.2 Plasmoni e Eccitazioni Collettive

I plasmoni rappresentano oscillazioni collettive del gas elettronico. Nei nanosistemi, i plasmoni superficiali localizzati hanno frequenze:

$$\omega_{LSP} = \sqrt{\frac{Ne^2}{m\epsilon_0\epsilon_r R^3}}$$

dove  $R$  è la dimensione caratteristica della nanostruttura.

## 9 Nanomateriali e Confinamento Quantistico

### 9.1 Classificazione Dimensionale

I nanomateriali sono classificati secondo il numero di dimensioni confinate:

**0D - Quantum Dots** Confinamento in tutte e tre le dimensioni. L'energia è completamente quantizzata, creando livelli atomici discreti in strutture macroscopiche.

**1D - Nanofili e Nanotubi** Confinamento in due dimensioni, trasporto lungo una direzione. Presentano proprietà di trasporto unidimensionali e quantizzazione della conduttanza.

**2D - Grafene e Strati Atomici** Confinamento in una dimensione. Il grafene rappresenta il caso limite di cristallo bidimensionale.



## 9.2 Grafene: Il Prototipo 2D

Il grafene, uno strato di carbonio spesso un solo atomo ( $\sim 0.33$  nm), presenta una struttura a nido d'ape con proprietà elettroniche uniche. La relazione di dispersione lineare:

$$E(k) = \pm \hbar v_F |k|$$

dove  $v_F \approx c/300$  è la velocità di Fermi, conferisce agli elettroni un comportamento relativistico descritto dall'equazione di Dirac.

Le proprietà notevoli includono:

- Mobilità elettronica eccezionale ( $> 10^6$  cm<sup>2</sup>/Vs)
- Resistenza meccanica superiore all'acciaio
- Trasparenza ottica del 97.7%
- Conducibilità termica record

Le tecniche di sintesi spaziano dall'esfoliazione meccanica alla deposizione chimica da fase vapore (CVD), ciascuna con vantaggi specifici per diverse applicazioni.

## 9.3 Nanotubi di Carbonio

I nanotubi rappresentano fogli di grafene arrotolati, classificati dalla chiralità  $(n, m)$ :

- **Armchair**  $(n, n)$ : sempre metallici
- **Zigzag**  $(n, 0)$ : metallici se  $n$  è divisibile per 3
- **Chirali**: comportamento che dipende dai parametri geometrici

La quantizzazione della conduttanza in nanotubi metallici:

$$G = \frac{2e^2}{h} \times N_{canali}$$

riflette la natura quantistica del trasporto elettronico.

## 9.4 Quantum Dots

I quantum dots sono "atomi artificiali" con livelli energetici discreti controllabili. L'energia di confinamento scala come:

$$E_{conf} \propto \frac{\hbar^2}{mR^2}$$

Le applicazioni spaziano dai LED ai dispositivi fotovoltaici, sfruttando la possibilità di controllare precisamente le proprietà ottiche variando le dimensioni.

## 10 Tecniche di Nanofabbricazione

### 10.1 Approcci Top-Down

Le tecniche top-down partono da materiali bulk per creare strutture nanometriche:

**Litografia Ottica** Limitata dalla diffrazione ( $\lambda/2NA$ ), dove NA è l'apertura numerica. L'uso di luce UV estrema (EUV,  $\lambda = 13.5$  nm) permette risoluzioni sub-10 nm.

**Litografia a Fascio Elettronico (EBL)** Risoluzione teorica limitata solo dal range degli elettroni secondari. Permette scrittura diretta con risoluzione sub-nanometrica ma con throughput limitato.

**Litografia X** Utilizza raggi X per pattern transfer, combinando alta risoluzione con possibilità di produzione parallela.

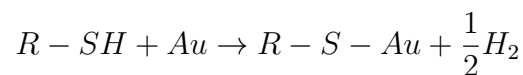
**Fasci Ionici Focalizzati (FIB)** Consentono milling e deposizione localizzata con risoluzione nanometrica.

### 10.2 Approcci Bottom-Up

Questi metodi costruiscono strutture assemblando atomi e molecole:

#### 10.2.1 Auto-assemblaggio Molecolare

Sfrutta interazioni non covalenti per creare strutture ordinate. I monostrati auto-assemblati (SAM) formano interfacce funzionali attraverso:



#### 10.2.2 Crescita Epitassiali

Tecniche come MBE (Molecular Beam Epitaxy) e MOCVD permettono controllo atomico della crescita, essenziale per heterostructure quantistiche.

### 10.3 Tecniche Ibride

La litografia soffice combina aspetti top-down e bottom-up, utilizzando stampi elastomerici per pattern transfer su scala nanometrica.

## 11 Fenomeni di Trasporto Quantistico

### 11.1 Formalismo di Landauer-Büttiker

Il trasporto quantistico in nanostructure è descritto dalla formula di Landauer:

$$G = \frac{2e^2}{h} \sum_n T_n$$

dove  $T_n$  sono i coefficienti di trasmissione dei canali di conduzione.

## 11.2 Localizzazione

In sistemi disordinati, l'interferenza quantistica può portare alla localizzazione di Anderson, dove gli stati elettronici diventano localizzati spazialmente nonostante l'assenza di un gap energetico.

La lunghezza di localizzazione scala come:

$$\xi \propto \exp\left(\frac{\pi k_F l}{2}\right)$$

dove  $l$  è il cammino libero medio.

## 11.3 Trasporto Spin-Dipendente

La spintronica sfrutta il grado di libertà di spin per dispositivi innovativi. L'effetto di magnetoresistenza gigante:

$$\frac{\Delta R}{R} = \frac{2P^2}{1 - P^2}$$

dove  $P$  è la polarizzazione di spin, ha rivoluzionato l'archiviazione magnetica.

# 12 Applicazioni e Dispositivi Quantistici

## 12.1 Dispositivi Elettronici Quantistici

### 12.1.1 Transistor a Singolo Elettrone

Il controllo del trasporto di singoli elettroni attraverso "isole" conduttrici isolate da barriere tunnel permette logica a bassa potenza. L'energia di carica:

$$E_C = \frac{e^2}{2C}$$

deve essere maggiore dell'energia termica per osservare effetti di blocco coulombiano.

### 12.1.2 Dispositivi Superconduttori

I giunti Josephson mostrano correnti superconduttive attraverso barriere isolanti:

$$I = I_c \sin(\delta)$$

dove  $\delta$  è la differenza di fase tra i superconduttori.

## 12.2 Sensori Quantistici

### 12.2.1 SQUID (Superconducting Quantum Interference Device)

Permettono misure di campi magnetici con sensibilità estrema, sfruttando l'interferenza quantistica macroscopica in anelli superconduttori.

### 12.2.2 Magnetometri a Centro NV

Difetti nel diamante (centri azoto-vacanza) forniscono spin elettronici isolati per magnetometria quantistica con risoluzione spaziale nanometrica.

## 12.3 Fotonica Quantistica

L'integrazione di sistemi quantistici con fotonica permette: - Comunicazioni quantistiche sicure - Computazione quantistica ottica - Sensori interferometrici ultrasensibili

## 13 Metodi Computazionali

### 13.1 Teoria del Funzionale Densità (DFT)

La DFT riduce il problema a molti corpi a un problema di particella singola in un potenziale effettivo:

$$E[n] = T[n] + V_{ext}[n] + V_H[n] + E_{xc}[n]$$

L'approssimazione LDA (Local Density Approximation) e le correzioni GGA (Generalized Gradient Approximation) permettono calcoli pratici delle proprietà elettroniche.

### 13.2 Metodi Tight-Binding

Per sistemi estesi come nanotubi e grafene, il modello tight-binding fornisce descrizioni efficienti:

$$H = \sum_i \epsilon_i c_i^\dagger c_i + \sum_{ij} t_{ij} c_i^\dagger c_j$$

### 13.3 Simulazioni Monte Carlo Quantistiche

Per sistemi a molti corpi fortemente correlati, metodi stocastici come QMC (Quantum Monte Carlo) permettono calcoli numericamente esatti di proprietà del ground state.

## 14 Conclusioni

Questa sintesi ha tracciato un percorso che connette i principi fondamentali della meccanica quantistica con le applicazioni pratiche nelle nanoscienze e nanotecnologie.